

# К ВОПРОСУ О ПОГЛОЩЕНИИ ВОЛН ВО ФЛУКТУИРУЮЩЕЙ ПЛАЗМЕННОЙ СРЕДЕ

*A. И. Гвелесиани, Г. В. Джандиери*

Исследование процесса затухания среднего поля волны является одним из актуальных вопросов физики ионосферы и распространения радиоволн [1, 2].

В настоящей работе находятся выражения для эффективной диэлектрической проницаемости и соответствующего дисперсионного соотношения при наличии флуктуаций диэлектрической проницаемости  $\epsilon$  и проводимости  $\sigma$ , являющихся случайными функциями координат и времени с нулевыми средними значениями малых добавок:  $\epsilon(\mathbf{r}, t) = \langle \epsilon \rangle + \epsilon_1(\mathbf{r}, t)$ ,  $\sigma(\mathbf{r}, t) = \langle \sigma \rangle + \sigma_1(\mathbf{r}, t)$  ( $\zeta = \epsilon_1/\langle \epsilon \rangle \ll 1$ ,  $\eta = \sigma_1/\langle \sigma \rangle \ll 1$ ).

Исходным при решении задачи является уравнение для напряженности электрического поля

$$\Delta \mathbf{E} - \frac{1}{c_*^2} \frac{\partial^2}{\partial t^2} [(1 + \zeta(\mathbf{r}, t)) \mathbf{E}] + \operatorname{grad} (\operatorname{grad} \zeta \mathbf{E}) = \frac{4\pi}{c^2} \langle \sigma \rangle \frac{\partial}{\partial t} [(1 + \eta(\mathbf{r}, t)) \mathbf{E}]. \quad (1)$$

Применяя метод малых возмущений, положив  $\mathbf{E}(\mathbf{r}, t) = \langle \mathbf{E}(\mathbf{r}, t) \rangle + \mathbf{E}_1(\mathbf{r}, t)$ , для среднего поля в фурье-представлении получим

$$L(\omega, \mathbf{k}) \langle \mathbf{E} \rangle_{\omega, \mathbf{k}} = k_0^2 [\langle \zeta \mathbf{E}_1 \rangle_{\omega, \mathbf{k}} + i\delta(\langle \eta \mathbf{E}_1 \rangle_{\omega, \mathbf{k}})] - ik \langle (\operatorname{grad} \zeta \mathbf{E}_1) \rangle_{\omega, \mathbf{k}}, \quad (2)$$

где

$$\langle \zeta \mathbf{E}_1 \rangle_{\omega, \mathbf{k}} = \int \zeta(\omega - \omega_1, \mathbf{k} - \mathbf{k}_1) \mathbf{E}_1(\omega_1, \mathbf{k}_1) d\mathbf{k}_1 d\omega_1 \quad (\zeta \leftrightarrow \tau_1),$$

$$\langle (\operatorname{grad} \zeta \mathbf{E}_1) \rangle_{\omega, \mathbf{k}} = -i \int (\mathbf{k} - \mathbf{k}_1) \zeta(\omega - \omega_1, \mathbf{k} - \mathbf{k}_1) \mathbf{E}_1(\omega_1, \mathbf{k}_1) d\mathbf{k}_1 d\omega_1$$

выполняют роль стохастического источника,  $L(\omega, \mathbf{k}) = k^2 - k_{0*}^2, k_{0*}^2 = k_0^2(1 - i\delta)$ ,  $\delta = (4\pi/\omega)(\langle \sigma \rangle/\langle \epsilon \rangle)$ ,  $k_0 = \omega/c_*$ ,  $c_* = c/V\langle \epsilon \rangle$  — скорость света в однородной среде, а для рассеченного поля имеем

$$\begin{aligned} \mathbf{E}_1(\omega, \mathbf{k}) &= \frac{\omega^2}{c_*^2 L(\omega, \mathbf{k})} \left[ \int_{-\infty}^{\infty} \zeta(\omega - \omega_1, \mathbf{k} - \mathbf{k}_1) \langle \mathbf{E}(\omega_1, \mathbf{k}_1) \rangle d\mathbf{k}_1 d\omega_1 + \right. \\ &\quad \left. + i\delta \int_{-\infty}^{\infty} \eta(\omega - \omega_1, \mathbf{k} - \mathbf{k}_1) \langle \mathbf{E}(\omega_1, \mathbf{k}_1) \rangle d\mathbf{k}_1 d\omega_1 \right] - \\ &- \frac{\mathbf{k}}{L(\omega, \mathbf{k})} \int_{-\infty}^{\infty} \zeta(\omega - \omega_1, \mathbf{k} - \mathbf{k}_1) ((\mathbf{k} - \mathbf{k}_1) \langle \mathbf{E}(\omega_1, \mathbf{k}_1) \rangle) d\mathbf{k}_1 d\omega_1. \end{aligned} \quad (3)$$

В случае однородных и стационарных случайных процессов из (2) и (3) для поперечных волн, когда  $(\mathbf{k} \langle \mathbf{E} \rangle_{\omega, \mathbf{k}}) = 0$ , получим дисперсионное соотношение

$$\begin{aligned} \left( \frac{\mathbf{k}}{k_0} \right)^2 &= \epsilon_{\text{эфф}}^{\text{tr}}(\omega, \mathbf{k}) = 1 + \frac{4\pi l \langle \sigma \rangle}{\omega \langle \epsilon \rangle} + 8\pi l \frac{\langle \sigma \rangle}{c^2} \int_0^{\infty} \frac{k_1^2 dk_1}{L(\omega_1, \mathbf{k}_1)} \int_{-1}^1 dx \int_{-\infty}^{\infty} \omega_1 (B_{\eta\zeta} + i\delta B_{\eta\eta}) d\omega_1 + \\ &+ \pi \int_0^{\infty} \frac{k_1^2 dk_1}{L(\omega_1, \mathbf{k}_1)} \int_{-1}^1 dx \int_{-\infty}^{\infty} (B_{\zeta\zeta} + i\delta B_{\zeta\eta}) \left[ \left( 2 \frac{\omega_1^2}{c_*^2} - k_1^2 \right) + k_1^2 x^2 \right] d\omega_1, \end{aligned} \quad (4)$$

где  $x = \cos \alpha$ ,  $\mathbf{k} = (0, 0, k_0)$ ,  $B_{\zeta\zeta} = \langle \zeta^2 \rangle B(\sqrt{k_{0*}^2 + k_1^2 - 2k_{0*}k_1 x}, \omega - \omega_1)$ ,  $B_{\eta\eta}$ ,  $B_{\zeta\eta}$  — произвольные спектральные плотности флуктуаций диэлектрической проницаемости, проводимости и взаимный спектр соответственно. В отсутствие флуктуаций, как и следовало ожидать, для однородной среды  $\epsilon_{\text{эфф}}^{\text{tr}}(\omega, \mathbf{k}) = \langle \epsilon \rangle + i(4\pi \langle \sigma \rangle/\omega)$ .

Исходя из (4), для мнимой части  $\epsilon_{\text{эфф}}^{\text{tr}}$ , ответственной за затухание среднего поля волны в квазистатическом приближении, для гауссова спектра  $B(k) \propto \pi^{3/2} l^{3/2} \times \exp(-k^2 l^2/4)$ , где  $l$  — пространственный масштаб корреляции, полагая средние потери в среде малыми,  $\delta < 1$ , для мелкомасштабных ( $k_0 l \lesssim 1$ ) и крупномасштабных ( $k_0 l \gg 1$ ) неоднородностей соответственно получим

$$\operatorname{Im} \epsilon_{\text{eff}}^{\text{tr}}(\omega) = \langle \epsilon \rangle \delta \left[ 1 + \frac{1}{3} (\langle \eta \rangle - \langle \zeta^2 \rangle) (k_0 l)^2 \right] + \frac{\sqrt{\pi}}{6} \langle \epsilon \rangle \langle \zeta^2 \rangle (k_0 l)^2; \quad (5)$$

$$\operatorname{Im} \epsilon_{\text{eff}}^{\text{tr}}(\omega) = \langle \epsilon \rangle \delta + \frac{3\sqrt{\pi}}{8} \langle \epsilon \rangle \langle \zeta^2 \rangle (k_0 l) \left( 1 - \frac{\delta}{k_0 l} \right). \quad (6)$$

При  $\sigma \rightarrow 0$  (5) и (6) переходят в известные выражения [1, 3]. Отметим, что влияние флюктуаций  $\epsilon_1, \sigma_1$  на затухание среднего поля является малым на фоне затухания из-за  $\langle \sigma \rangle$ .

Анализ показывает, что в слабоионизованной плазме, когда  $s=1-s$ ,  $\sigma=s\nu/4\pi$  [4], где  $s=\omega_p^2/(\omega^2+\nu^2)$ ,  $\nu$  — частота столкновений электронов с нейтральными частицами, а ленгмюровская частота  $\omega_p$  является случайной функцией координат. Мелкомасштабные флюктуации электронной концентрации приводят к тому, что затухание среднего поля происходит не только за счет диссипации, но и в результате перехода его энергии в энергию флюктуационного поля  $E_1(r)$ , а поглощение  $L=4,3 \alpha z$  (дБ), где  $z$  — длина трассы, равно

$$L = L_0 - L_1 + L_2 = 4,3 \frac{\omega \nu}{c} \frac{s \nu}{\omega} \left\{ 1 - \frac{1}{3} \frac{\langle N_1^2 \rangle}{\langle N \rangle^2} s \left( \frac{\omega l}{c} \right)^2 \left[ 1 - \frac{\sqrt{\pi}}{2} \frac{\omega}{\nu} \left( \frac{\omega l}{c} \right) (1-s)^{1/2} \right] \right\}. \quad (7)$$

Отсюда явствует, что в неоднородной поглощающей среде затухание когерентной составляющей волны может происходить медленнее, чем в плазме без флюктуаций концентрации.

Последнее соотношение позволяет ввести безразмерную величину

$$\Gamma = \frac{\omega^2}{c^2} (1-s^2) l, \quad (8)$$

содержащую параметры неоднородной плазменной среды и волны, и определить критическое значение размера неоднородностей  $l_{kp}$  (когда  $\Gamma=1$ ). Наличие случайных неоднородностей меньших размеров, ослабляя затухание, благоприятствует распространению когерентной волны.

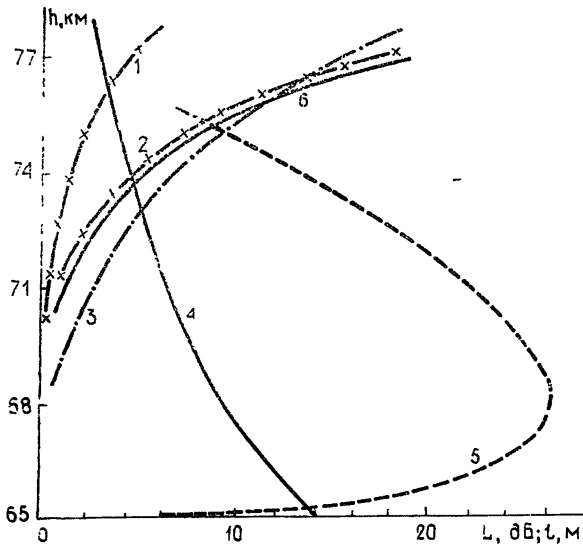


Рис. 1

Кривые зависимости поглощения  $L$  от высоты  $h$ :  
 —  $\times$  — крупномасштабный случай (кривая 1 —  $L=30$  км,  
 $2 — L=100$  км); — . . . — мелкомасштабный случай;  
 $3 — L_2 \chi^{-1}$ ; — — — —  $l_{kp}$  и  $L_{kp} \cdot 10^3 \chi^{-1}$  соответствуют  
 мелкомасштабному случаю, кривые 4, 5;  
 $\chi = \langle N_1^2 \rangle / \langle N \rangle$ ; 6 —  $L_1 \chi^{-1}$ .

На основе полученных формул и соотношений с использованием моделей ионосферы [5] были проведены численные расчеты, результаты которых представлены на рис. 1. В частности, критический размер мелкомасштабных неоднородностей  $l_{kp}(h)$  убывает с высотой плавно от значения 14 до 4 м в интервале высот между 60 и 80 км ( $\omega \approx 20$  МГц). Кривая поглощения для среды с неоднородностями критических размеров  $L_{kp}(h) = L_1(h)_{l=l_{kp}}$  имеет максимум на высоте  $h \approx 68$  км. В случае мелкомасштабных неоднородностей поглощение  $L_1(h)$  меняется в пределах  $(0,23 \div 16) \times \langle N_1^2 \rangle / \langle N \rangle^2$  (дБ) из-за флюктуаций диэлектрической проницаемости и проводимости среды, а при наличии лишь флюктуаций диэлектрической проницаемости поглощение  $L_2(h) = (0,1 \div 22) \langle N_1^2 \rangle / \langle N \rangle^2$  (дБ) в интервале высот  $65 \div 77$  км ( $\omega \approx 6$  МГц,  $l=40$  м).

Результаты показывают, что в случае крупномасштабных неоднородностей,  $k_0 l \gg 1$ ,  $\delta < 1$ , амплитуда флюктуаций проводимости мало, затухание среднего поля целиком определяется флюктуациями диэлектрической проницаемости и коэффициент поглощения, равный

$$L = 4,3 \frac{3\sqrt{\pi}}{8} \frac{\langle N_1^2 \rangle}{\langle N \rangle^2} \frac{s^2}{(1-s)^{1/2}} \left(\frac{\omega l}{c}\right) \left(\frac{\omega z}{c}\right),$$

при  $l=30$  км меняется в пределах  $(247 \div 6 \cdot 10^4) \langle N_1^2 \rangle / \langle N \rangle^2$  (дБ), а при  $l=100$  км —  $(820 \div 2 \cdot 10^8) \langle N_1^2 \rangle / \langle N \rangle^2$  (дБ). Независимо от размеров неоднородностей, ход кривых  $L(h)$  одинаков (соответствующие масштабы указаны на рисунке).

Таким образом, согласно предлагаемой модели эффект флюктуаций проводимости в средах с мелкомасштабными неоднородностями оказывается более существенным, чем в средах с крупномасштабными неоднородностями на уровнях области  $D$  ионосферы (порядка 60—80 км).

## ЛИТЕРАТУРА

1. Рыжов Ю. А., Тамойкин В. В. — Изв. вузов — Радиофизика, 1970, 13, № 3, с. 356.
2. Гельберг М. Г. Неоднородности высокосиротной ионосферы. — Новосибирск: Наука, 1986. — 192 с.
3. Бегиашвили Г. А., Гавриленко В. Г., Джандиери Г. В. — Изв. вузов — Радиофизика, 1977, 20, № 6, с. 948.
4. Гинзбург В. Л. Распространение электромагнитных волн в плазме. — М: Наука, 1967. — 683 с.
5. Справочная модель ионосферы-83 / Отв. редактор Ю. К. Часовитин. — Обнинск, 1983. — 132 с.

Грузинский политехнический  
институт

Поступила в редакцию  
16 января 1987 г.

УДК 535.31

## ИСКАЖЕНИЕ ИМПУЛЬСОВ ПРИ ОТРАЖЕНИИ ОТ ПЛАЗМЕННОГО ОБРАЗОВАНИЯ С УГЛОВОЙ НЕОДНОРОДНОСТЬЮ

Г. В. Гринченко, А. П. Ярыгин

В [1] были численно исследованы искажения радиоимпульсов при отражении от плазменного образования, неоднородного по радиусу, но однородного по углу.

В данном сообщении в приближении геометрической оптики (ГО) рассматриваются дисперсионные искажения прямоугольных и ЛЧМ радиоимпульсов при обратном рассеянии от плазменного образования с угловой и радиальной неоднородностью:

$$\epsilon = 1 - (\omega_0^2/\omega^2) (R_0^2/r^2) f^2(\theta) r^2. \quad (1)$$

Отметим, что при  $N_e \sim 1/r^2$  ( $N_e$  — концентрация электронов) дифракция на закритическом ядре вообще не влияет на разрушение импульса в отличие, например, от дифракции импульса на металлическом теле (это подтверждается также результатами [2]). Действительно, для такой плазмы  $b(\omega)/\lambda = \text{const}$  ( $b(\omega)$  — размер закритического ядра для данной гармоники), и поэтому все гармоники одинаково дифрагируют на ядре. Это говорит о том, что приближение ГО, которое не учитывает дифракции, должно достаточно хорошо описывать искажения радиоимпульсов на данном плазменном образовании.

Пусть под углом  $\gamma$  к оси неоднородности, заданной уравнением (1), падает произвольный импульс. В [3] было показано, что ЭПР данного образования  $\sigma(\gamma, \omega)$  в приближении ГО равна

$$\sigma(\gamma, \omega) = (\omega_0^2/\omega^2) R_0^2 c_0(\gamma). \quad (2)$$

Методом ГО легко найти, что разность фаз в точке наблюдения между падающей плоской волной и отраженной волной равна

$$\Delta\phi = 2kR - \phi_0, \quad (3)$$

где  $R$  — расстояние от точки наблюдения до центра плазменного сгустка;  $\phi_0$  не зависит от частоты, а зависит от угла облучения  $\gamma$  и от угловой функции распределения электронов в неоднородности.